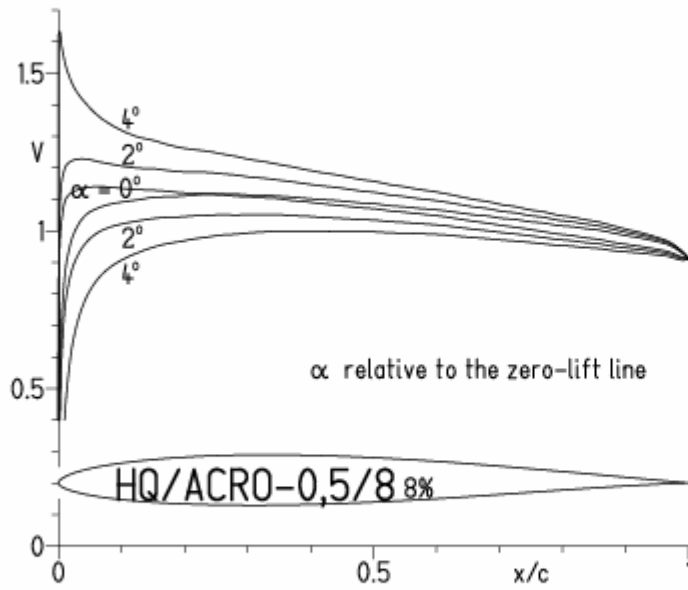
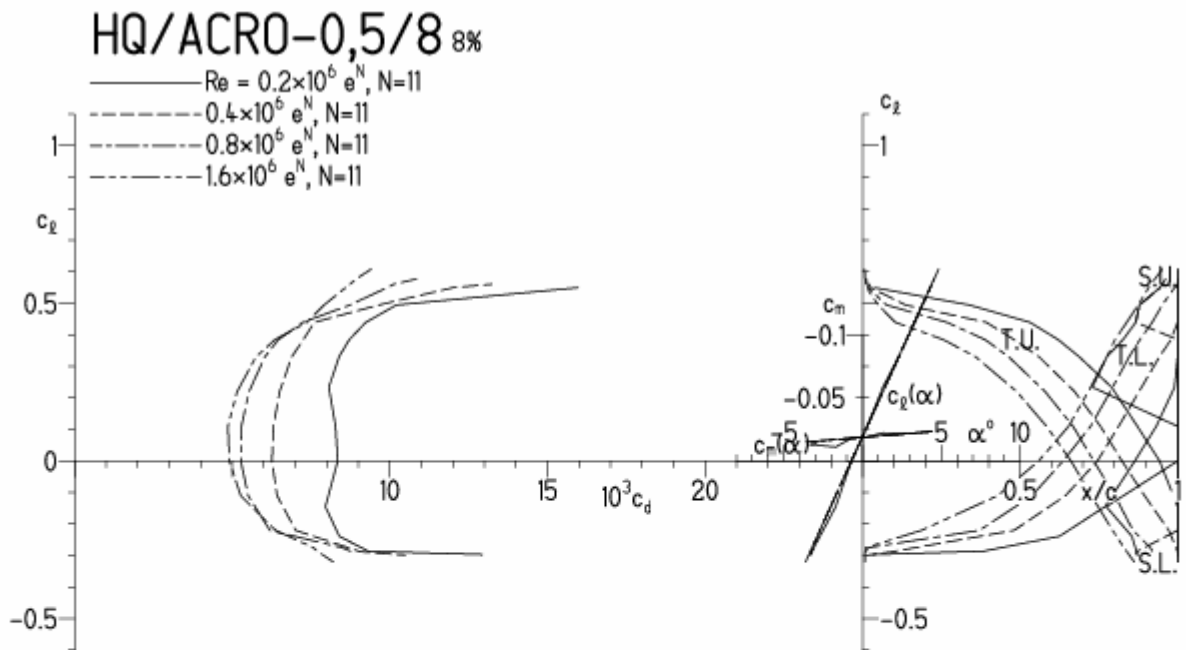


HQ/ACRO-0,5/8, N=11

EPPLER 2005 V. 8.5.07 RUN 8.2.11 12:48

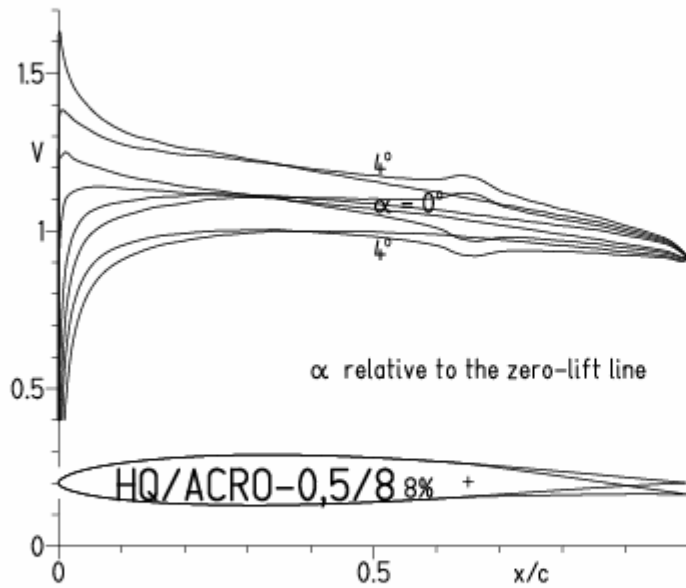


EPPLER 2005 V. 8.5.07 RUN 8.2.11 12:48

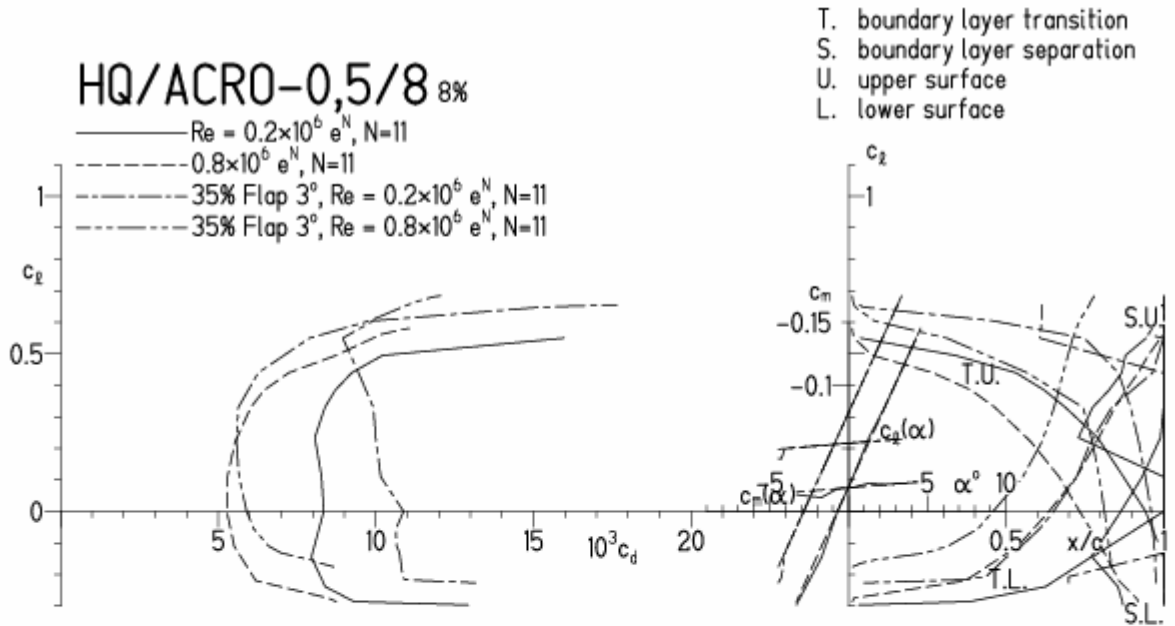


HQ/ACRO-0,5/8, N=11, mit +3° Wölbklappenausschlag

EPPLER 2005 V. 8.5.07 RUN 8.2.11 20:17

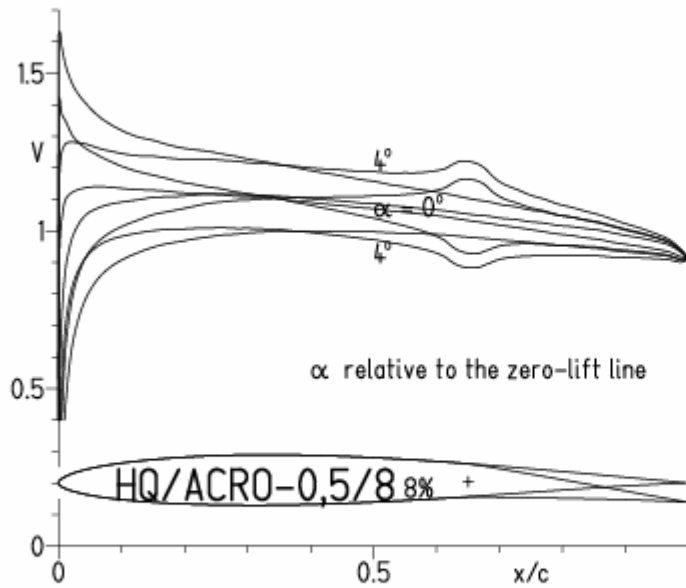


EPPLER 2005 V. 8.5.07 RUN 8.

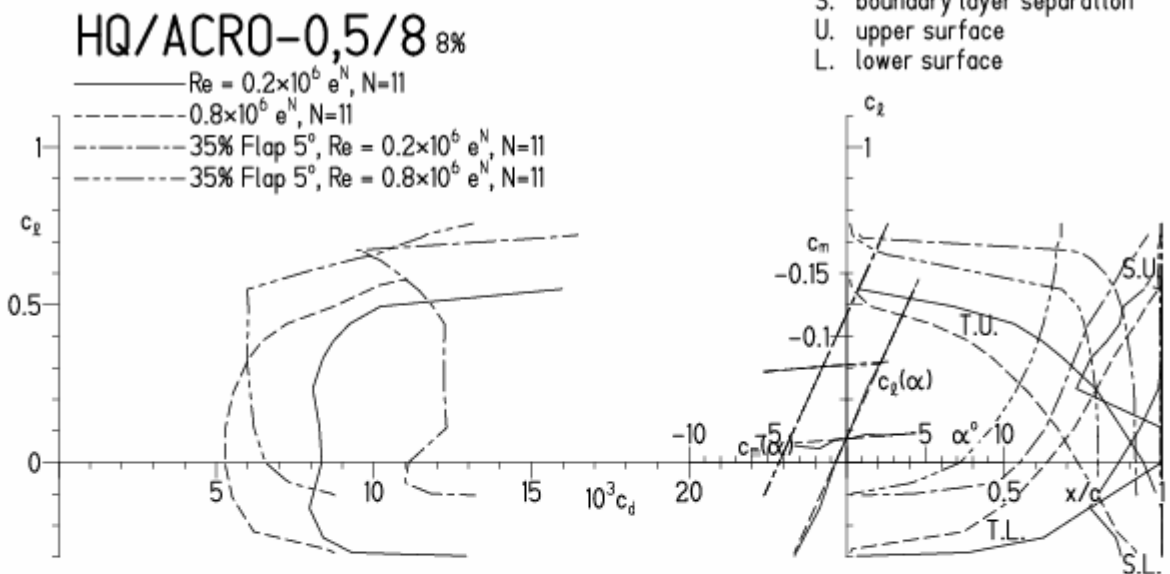


HQ/ACRO-0,5/8, N=11, mit +5° Wölbklappenausschlag

EPPLER 2005 V. 8.5.07 RUN 8.2.11 20:03

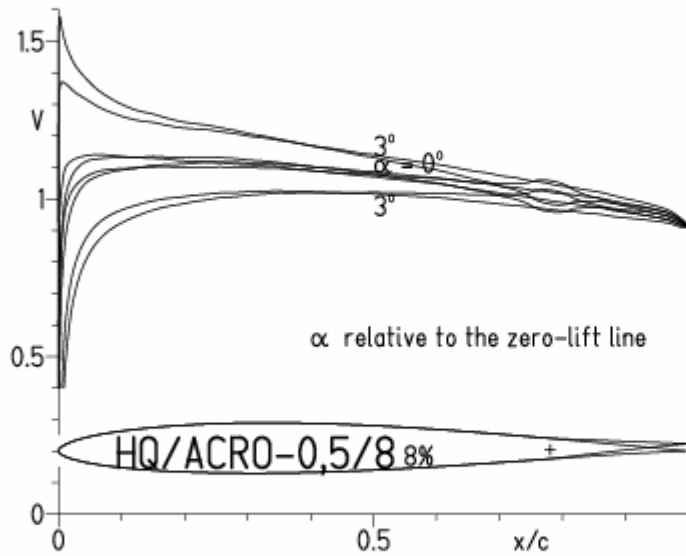


EPPLER 2005 V. 8.5.07



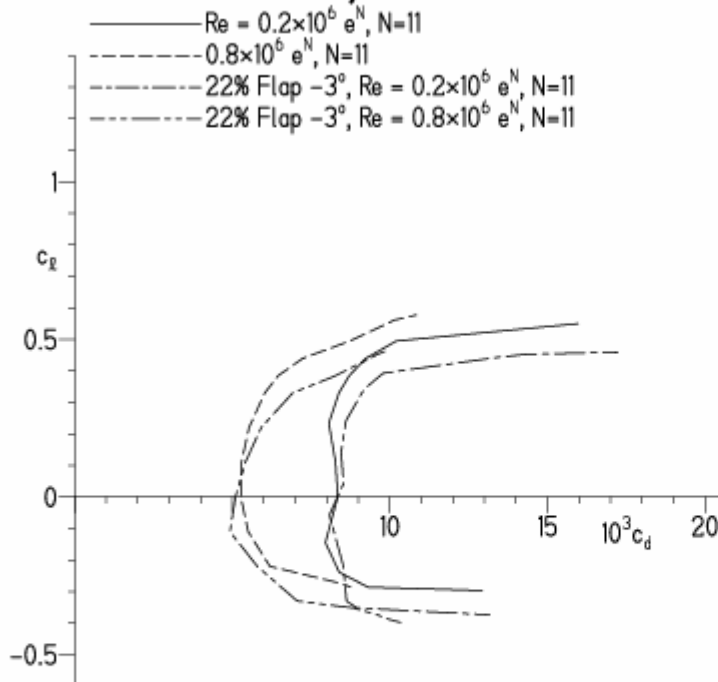
HQ/ACRO-0,5/8, N=11, mit -3° Wölbklappenausschlag

EPPLER 2005 V. 8.5.07 RUN 8.2.11 19:48

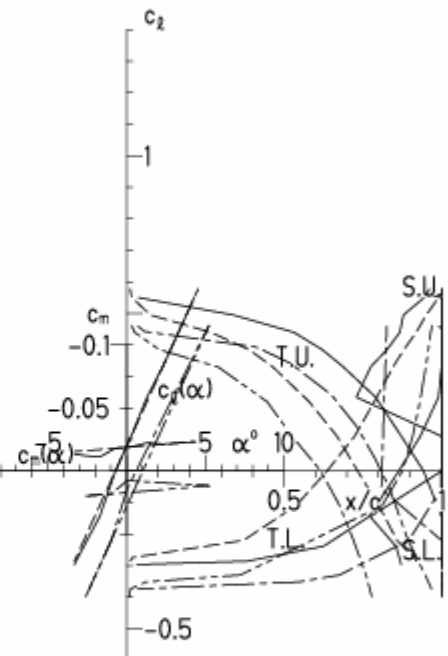


EPPLER 20

HQ/ACRO-0,5/8 8%

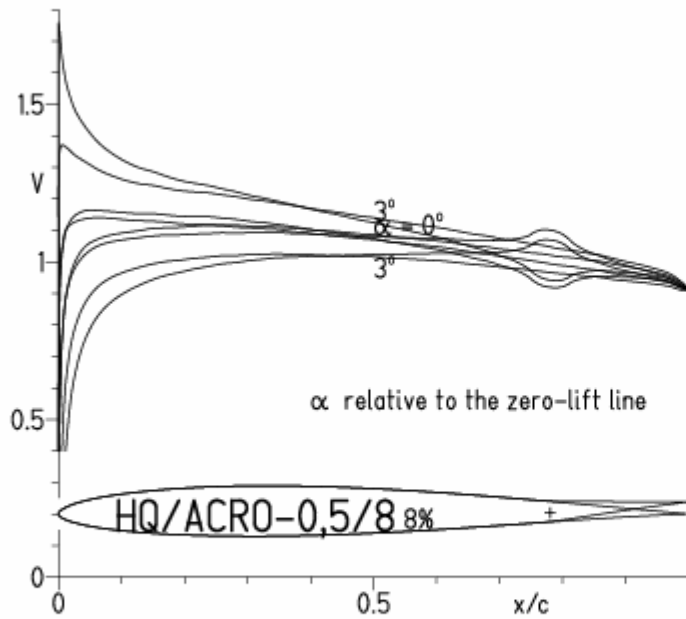


- T. boundary layer transition
- S. boundary layer separation
- U. upper surface
- L. lower surface



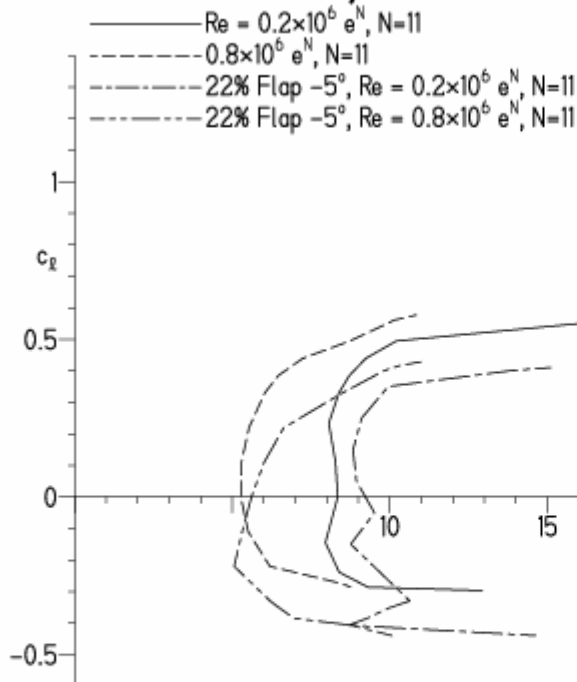
HQ/ACRO-0,5/8, N=11, mit -5° Wölbklappenausschlag

EPPLER 2005 V. 8.5.07 RUN 8.2.11 19:59



EPPLER 20

HQ/ACRO-0,5/8 8%



- T. boundary layer transition
- S. boundary layer separation
- U. upper surface
- L. lower surface

